



19 BUNDESREPUBLIK  
DEUTSCHLAND



DEUTSCHES  
PATENTAMT

12 Patentschrift  
10 DE 39 03 981 C 2

51 Int. Cl. 8:  
B 41 F 33/10  
G 01 J 3/48

21 Aktenzeichen: P 39 03 981.1-27  
22 Anm. Idetag: 10. 2. 89  
43 Offenlegungstag: 16. 8. 90  
45 Veröffentlichungstag  
der Patenterteilung: 9. 4. 98

Innerhalb von 3 Monaten nach Veröffentlichung der Erteilung kann Einspruch erhoben werden

73 Patentinhaber:

Heidelberger Druckmaschinen AG, 69115  
Heidelberg, DE

72 Erfinder:

Pflästerer, Jürgen, Dipl.-Ing., 6915 Dossenheim, DE;  
Freyer, Norbert, Dr., 6902 Sandhausen, DE

56 Für die Beurteilung der Patentfähigkeit  
in Betracht gezogene Druckschriften:

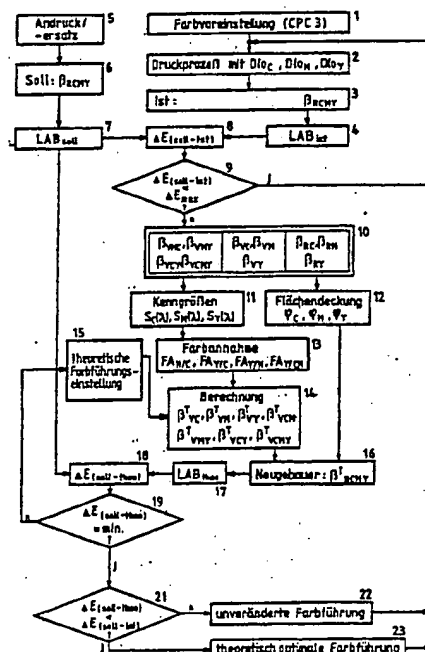
DE-AS 22 14 721  
DE 37 07 027 A1  
DE 36 26 423 A1  
DE 35 33 549 A1  
DE 30 07 421 A1  
DE 29 47 791 A1

DE 25 51 689 A1  
US 48 49 502  
EP 02 28 347 A1

DE-Z: DOLEZALEK, Friedrich: Schnelleres  
Einrichten und stabilerer Fortdruck durch  
Farbbalance-Steuerung im Offsetdruck. In:  
FOGRA-Mitteilungen, Nr. 128/129, 1987, S. 10-12;  
- DE-Z: SCHIRMER, Karl-Heinz: Kann die Farbdi-  
t-messung an Druckerzeugnissen durch die Methoden  
der Farbmessung ersetzt werden? In: Der  
Polygraph, 19-75, S. 1243, 1244;  
- DE-Z: HÄUSER, Frank: Farbmischung und  
Farbschwankungen beim Mehrfarben-Offsetdruck.  
In: Der Polygraph, 12-84, S. 1011, 1012, 1014;  
- DD-Z: LÜBBE, Eva: Farbe, Farbmessung und Farb-  
dichtmessung. In: Papier und Druck 31, 1982, 3,  
S. 33-36;  
DE-Z: Offsetpraxis 10/1986, S. 28, 30, 32, 34, 35;

54 Verfahren zur Regelung der Farbfüllung bei einer Druckmaschine

57 Verfahren zur Regelung der Farbführung bei einer Druck-  
maschine über verstellbare zonale Farbstellenelemente,  
— bei dem auf einem Druckerzeugnis in einem Meßstreifen  
pro Farbzone vorgesehene, im Vollton und Rasterton einzel-  
farbig und im Übereinanderdruck erzeugte Meßfelder und  
die Farbe des unbedruckten Druckerzeugnisses farbmestrisch  
ausgemessen werden,  
— bei dem aus den farbmestrischen Signalen der Meßfelder  
und des unbedruckten Druckerzeugnisses Remissions-Ist-  
werte  $\beta_x$ ,  $\beta_w$  gewonnen werden,  
— bei dem aus dem Remissions-Istwert  $\beta_{RCMY}$  eines im  
Rasterton aus den beteiligten Buntfarben CMY erzeugten  
Meßfeldes ein Ist-Farbart  $E_{IST}$  bestimmt wird,  
— bei dem der Farbabstand  $\Delta E$  zwischen dem Ist-Farbart  
 $E_{IST}$  und einem von einer Vorlage abgeleiteten, ein anzustre-  
bendes Druckbild repräsentierenden Soll-Farbart  $E_{SOLL}$  be-  
stimmt und mit einem maximal zulässigen Wert  $\Delta E_{max}$  für  
den Farbabstand verglichen wird,  
— bei dem dann, wenn der Farbabstand  $\Delta E$  gleich dem  
maximal zulässigen Wert  $\Delta E_{max}$  oder größer als dieser ist,  
ein theoretischer Farbabstand  $\Delta E_{theo}$  errechnet wird,  
— indem zunächst aus den Remissions-Istwerten  $\beta_x$ ,  $\beta_w$  mit  
den in Fig. 3.11 angegebenen Formeln für die Buntfarben  
CMY Kenngrößen  $S_c$ ,  $S_m$ ,  $S_y$  und mit den in Fig. 3.12  
angegebenen Formeln Flächendeckungswerte  $\Phi_m$ ,  $\Phi_c$  und  
 $\Phi_y$  errechnet werden,  
wobei mit  $a$  und  $b$  Farbwerte bezeichnet werden, die sich  
aus Remissionswerten  $\beta_{\infty c}$ ,  $\beta_{\infty m}$ ,  $\beta_{\infty y}$  der im Vollton mit  
großer Schichtdicke erzeugten Buntfarben CMY ergeben, ...



DE 3903981 C 2

DE 3903981 C 2

Zur Regelung der Farbführung sind sowohl Verfahren mit einer densitometrischen Messung einer Vorlage als auch Verfahren bekannt, bei welchen eine spektrale oder Dreibereichs-Farbmessung vorgesehen ist. Die Verfahren mit einer densitometrischen Messung erfordern eine genaue Kenntnis der Andruck- und Fortdruckmaterialien (Papier und Farbe) sowie einen auf diese spezielle Materialkombination abgestimmten Druckversuch.

Die Farbmessung erlaubt eine direkte Gegenüberstellung von Soll- und Istwerten der farbmetrischen Größen. Dabei wird von mehrfarbigen Rasterfeldern ausgegangen, deren Gesamtfarbwert für eine Regelung der Druckmaschine auf die drei zur Verfügung stehenden Buntfarben Cyan, Magenta und Yellow aufgeteilt wird. Ein zentraler Bestandteil der bekannten Verfahren dieser Art ist ein lineares Gleichungssystem für die Umrechnung des Gesamtfarbwertes in die einzelnen farbezogenen Größen. Die zur Lösung dieses Gleichungssystems notwendigen Koeffizienten gelten dabei jeweils für eine bestimmte Fortdruck-Materialkombination und müssen anhand eines Druckversuchs ermittelt werden.

In EP 0 228 347 A1 ist ein Verfahren der eingangs genannten Art beschrieben, bei dem zur Bestimmung von einzelnen Farbmeßfeldern zugeordneten Farbschichtdickenänderungen Farbabstandsvektoren, die Bezugfeldern zugeordnet sind, gewichtet und mit empirisch ermittelten Transformationsmatrizen multipliziert werden. Die empirische Ermittlung ist aufwendig und nur für eine bestimmte Kombination einer Druckfarbe und einem Bedruckstoff korrekt.

Aufgabe der Erfindung ist es, ein Verfahren zur Regelung der Farbgebung von Druckerzeugnissen anzugeben, bei welchem aus der Messung beliebig hergestellter Vorlagen Werte gewonnen werden, die unmittelbar als Zielgrößen im Druckprozeß zu verwenden sind, wobei der Einfluß einer beliebigen Kombination einer Druckfarbe und eines Bedruckstoffes auf die Zielgrößen minimiert ist.

Die Lösung der Aufgabe gelingt mit einem Verfahren, das die Merkmale des Anspruchs 1 aufweist, die im Hauptanspruch angegebene Lösung bezieht Formeln zur Berechnung von Größen mit ein, die in den Figuren angegeben sind.

Das erfindungsgemäße Verfahren hat den Vorteil, daß im Druckprozeß andere Farben und Vorlagen verwendet werden können als beim Andruck, ohne daß mehrere Druckversuche bis zu einer ausreichend genauen Einstellung der Farbgebung erforderlich sind.

Die Ausführung der Erfindung ist in der Zeichnung anhand mehrerer Figuren dargestellt und in der nachfolgenden Beschreibung näher erläutert. Es zeigen:

Fig. 1 ein Ablaufdiagramm eines erfindungsgemäßen Verfahrens,

Fig. 2 den Zusammenhang zwischen der Farbschichtdicke und der Stellgröße der Farbführungselemente,

Fig. 3 eine Zusammenstellung der zur Durchführung des erfindungsgemäßen Verfahrens erforderlichen Formeln und

Fig. 4 eine Einrichtung zur Durchführung des erfindungsgemäßen Verfahrens.

Zunächst erfolgt eine Farbvoreinstellung 1, beispielsweise mit Hilfe eines Plattenlesers. Mit Hilfe der voreingestellten Farbführungswerte DIOC, DIOM und DIOY läuft als Einrichtungsphase ein Druckprozeß 2 ab. In einem anschließenden Meßlauf 3 wird auf dem hergestellten

Druckbogen die Remission  $\beta_{RCMYist}$  eines Dreifarben-Rasterfeldes spektral gemessen. Durch die spektrale Messung des Dreifarben-Rasterfeldes gewonnenen Werte für die Remission  $\beta_{RCMYist}$  werden bei 4 in Farbkordinaten  $LAB_{ist}$  entsprechend dem CIELAB-System (CIE = Commission Internationale de l'Eclairage) umgerechnet. Es können auch andere Farbräume, zum Beispiel LUV, benutzt werden.

Eine nach einem Andruckverfahren hergestellte Vorlage 5 enthält ebenfalls ein Dreifarben-Rasterfeld, dessen Remission  $\beta_{RCMYsoll}$  bei Schritt 6 gemessen und bei Schritt 7 in Farbkordinaten  $LAB_{soll}$  umgerechnet wird. Bei Schritt 8 wird aus den Koordinaten der Farbabstand Delta  $E_{(soll-ist)}$  errechnet. Das Ergebnis wird daraufhin bei Schritt 9 überprüft, ob es bereits kleiner ist als ein maximal zulässiger Wert  $\Delta E_{max}$ . Ist dieses der Fall, so wird der Druckprozeß 2 eingeleitet.

Ist der Farbabstand Delta  $E_{(soll-ist)}$  jedoch größer als der maximal zulässige Wert, so wird mit Hilfe der im folgenden beschriebenen Schritte eine Neuberechnung der Farbführung und eine Berechnung von theoretischen Remissionswerten  $\beta_{theo}$  vorgenommen. Dazu werden zunächst bei Schritt 10 auf dem hergestellten Druckbogen weitere Remissionen spektral gemessen. Im einzelnen sind dieses  $\beta_{VCMY}$  eines Dreifarben-Vollton-Übereinanderdruckfeldes,  $\beta_{VC}$ ,  $\beta_{VCY}$  und  $\beta_{VCMY}$  je eines Zweifarben-Vollton-Übereinanderdruckfeldes,  $\beta_{VC}$ ,  $\beta_{VM}$  und  $\beta_{VY}$  je eines Einfarben-Volltonfeldes und  $\beta_{RC}$ ,  $\beta_{RM}$  und  $\beta_{RY}$  dreier Einfarben-Rasterfelder.

Aus den gemessenen Remissionswerten werden bei 11 Kenngrößen  $Sc$ ,  $Sm$ ,  $Sy$  und bei Schritt 12 die Flächendeckungen  $\phi_{hc}$ ,  $\phi_{hm}$  und  $\phi_{hy}$  der drei Farben jeweils als Funktion der Wellenlänge  $\lambda$  errechnet. In einem Schritt 13 wird aus den Kenngrößen  $Sc$ ,  $Sm$ ,  $Sy$  die Farbanahme  $FA$  jeweils für einen Übereinanderdruck zweier Farben und für ein Übereinanderdruck der Farbe  $Y$  auf den Farben  $C$  und  $M$  errechnet.

Bei den folgenden Schritten wird in einem ersten Durchlauf von den voreingestellten Werten für DIOC, DIOM und DIOY ausgegangen. In weiteren Durchläufen werden — sofern erforderlich — aus dem jeweils vorangegangenen Durchlauf gewonnene theoretische Werte von DIOC, DIOM und DIOY berücksichtigt, bis ein Minimum des Farbabstandes Delta  $E_{(soll-theo)}$  gefunden ist. Bei einem Schritt 14 werden aus den Kenngrößen und den Werten für die Farbanahme die theoretischen Werte der Remission  $\beta_{v,theo}$  unter Berücksichtigung der voreingestellten bzw. theoretischen Werte der Farbführung errechnet. Aus diesen wird bei Schritt 16 nach Formeln von Neubauer eine theoretische spektrale Remission  $\beta_{RCMY,theo}$  errechnet. Daraus werden bei Schritt 17 die theoretischen Farbkordinaten  $LAB_{theo}$  ermittelt, die bei Schritt 18 mit den Farbkordinaten  $LAB_{soll}$  durch Bildung von Delta  $E_{(soll-theo)}$  verglichen werden.

Ist dieser Farbabstand Delta  $E$  kleiner als der bei dem vorangegangenen Durchlauf errechnete Wert Delta  $E_{(n-1)}$  (Verzweigung 19), so erfolgt im Verfahrensschritt 15 eine erneute Berechnung der theoretischen Farbführung im Sinne einer Minimierung des Farbabstandes. Dabei wird eine geringe Änderung der Werte DIOC, DIOM und DIOY in Richtung auf den Sollfarbort  $LAB_{soll}$  vorgenommen. Der Zusammenhang zwischen Schichtdicke auf dem Bogen und den Farbführungswerten  $DIOC_{theo}$ ,  $DIOM_{theo}$  und  $DIOY_{theo}$  kann als Kennlinie entweder in Form einer Tabelle oder in parametrisierter Form im Rechner abgelegt sein, wobei zum Beispiel je Maschinentyp eine eigene Kennlinie existiert.

Mit diesen Werten erfolgt mit den Verfahrensschritten 14, 16, 17 und 18 die Berechnung eines weiteren Farbabstandes Delta E. Dieses wird solange wiederholt, bis ein Anstieg des Betrags von Delta E anzeigt, daß ein Minimum von Delta E gefunden wurde.

Gemäß einer Weiterbildung der Erfindung kann nach der Verzweigung 19 bei Schritt 21 ein Vergleich mit dem Farbabstand Delta E<sub>(soll-ist)</sub> durchgeführt werden, der bei Schritt 8 aufgrund der Farbkoordinaten LAB<sub>ist</sub> nach dem Druckprozeß 2 errechnet wurde. Damit wird überprüft, ob die Neuberechnung der Farbführung wirklich eine Verbesserung gegenüber der ursprünglichen Einstellung der Farbführung ergeben hat. Ist dieses nicht der Fall, wird über Schritt 22 der Druck mit unveränderter Farbführung veranlaßt. Ist jedoch eine Verbesserung eingetreten, werden bei Schritt 23 die theoretisch optimalen Farbführungswerte der Druckmaschine zugeführt, so daß der Druck mit diesen erfolgt.

Fig. 2 zeigt den Zusammenhang zwischen der Schichtdicke h und dem jeweiligen Farbführungswert DIO. Dabei stellt K(DIO) in der Regel eine nichtlineare Abhängigkeit der Schichtdicke von der Stellgröße DIO dar, während der Anteil c, der vom Sujet (Flächendeckung), vom Untergrund (Papier) und anderem abhängig ist, als linear angenommen wird.

Fig. 3 zeigt die zur Durchführung der Verfahrensschritte 11 bis 14 und 16 erforderlichen Formeln. Dabei sind aus technischen Gründen die theoretischen Werte mit einem hochgesetzten T gekennzeichnet — gleichbedeutend mit dem Index theo in der Beschreibung.

Zur Berechnung der Remissionen  $\beta_{vtheo}$  werden Farbwerte a, b benötigt, welche jeweils aus der Remission einer derart dicken Schicht, daß die Remission des Bedruckstoffes vernachlässigbar ist, entsprechend den in Fig. 3.0 gezeigten Gleichungen gewonnen werden. Die Ermittlung der Remissionen  $\beta_{\infty C}$ ,  $\beta_{\infty M}$ ,  $\beta_{\infty Y}$  kann durch Messen einer entsprechend dick aufgetragenen Farbe erfolgen und ist in Fig. 1 nicht dargestellt.

Im Verfahrensschritt 11 werden aus den Farbwerten und den bei 10 ermittelten Remissionswerten nach den in Fig. 3.11 dargestellten Gleichungen Kenngrößen  $S_M$ ,  $S_C$  und  $S_Y$  jeweils als Funktion der Wellenlänge abgeleitet, dabei wird der obengenannte Zusammenhang zwischen der Schichtdicke c und der Farbführung DIO angenommen. Die Größe  $\beta_{pw}$  ist die Remission des Bedruckstoffes.

Wesentlich für das erfindungsgemäße Verfahren ist nun das Zusammenfassen der rein farbspezifischen Größe s ( $\lambda$ ) (Streuung der Farbe) mit der sujet- und einstellungsabhängigen Konstanten c, weil dadurch nur das Produkt  $S(\lambda) = c \times s(\lambda)$  ermittelt werden muß und nicht die Einzelgrößen. Diese Kenngröße S ( $\lambda$ ) ist daher farb- und zonenspezifisch (siehe Fig. 3.11).

Die Kenngrößen  $S_{M/C}$  usw. sind analog den Kenngrößen  $S_C$ ,  $S_M$  usw. Während bei  $S_C$  usw. als Unterlage für die aufzudruckende Schicht der Farbe 1 Papierweiß benutzt wird, wird jedoch durch  $S_{M/C}$  zum Beispiel die entsprechende Kenngröße für den Fall angegeben, daß die Farbe M auf einer vorher aufgedruckten Schicht der Farbe C aufgedruckt wird. Dadurch wird der unterschiedlichen Farbbildung beim Drucken auf Papier bzw. beim Drucken auf einer anderen Farbe bei sonst gleicher Maschineneinstellung Rechnung getragen.

Diese Kenngrößen gehen durch die Größe der Farbbildung FA in die Berechnungen der Vollton-Übereinanderdruckfelder ein. Fig. 3.13 zeigt die Berechnung der Farbbildung FA gemäß Verfahrensschritt 13. Die

Farbbildungen sind je Farbkombination aus Volltonfeldern und Volltonübereinanderdruckfeldern über  $h_M/Y = F_{AM}/Y \times h_M$  usw. definiert.

Die mit Hilfe des Verfahrensschrittes 12 zu berechnenden Flächendeckungen phi erfolgen gemäß den in Fig. 3.12 dargestellten Gleichungen, wobei die optischen Flächendeckungen je Farbe aus Vollton- und Rastertonfeldern berechnet werden und dann für eine Nachregelung konstant gehalten werden.

Die zur Berechnung der theoretischen Remissionenwerte der Ein-, Zwei- und Dreifarbenvolltonfelder gemäß Verfahrensschritt 14 erforderlichen Gleichungen sind in Fig. 3.14 angegeben. Die Berechnung des Remissionsspektrums des theoretischen Dreifarbenrasterfeldes über modifizierte Neugebauer-Gleichungen gemäß Verfahrensschritt 16 ist in Fig. 3.16 dargestellt.

Fig. 4 zeigt als Blockschaltbild wesentliche Teile einer Meßeinrichtung, die mit einem dem Ablaufplan entsprechenden Programm zur Durchführung des erfindungsgemäßen Verfahrens verwendet werden kann. Zur Steuerung der gesamten Einrichtung ist eine zentrale Verarbeitungseinheit (CPU) 31 vorgesehen, die über einen Systembus 32 mit den anderen Einheiten Daten austauscht. Zur Steuerung des eigentlichen Meßvorgangs dient eine Meßsteuerung 33, welche mit einem Analog/Digital-Wandler 34 einem Zwischenspeicher 35 und über eine Meßleitung 36 mit einem Multiplexer 37 verbunden ist. Der derart gesteuerte Multiplexer 37 wählt nacheinander die 31 Meßstellen bzw. 20 Meßköpfe an, die zur farbmetrischen Messung eingerichtet sind.

Programme für die zentrale Verarbeitungseinheit 31 befinden sich im Programmspeicher 39. Ferner sind ein Datenspeicher 40 und ein Datensicherungsspeicher 41 vorgesehen. Letzterer ist durch eine im einzelnen nicht dargestellte Batterie gepuffert und speichert die Daten auch nach dem Abschalten der Einrichtung. Kommandos und Daten können über eine Tastatur 42 eingegeben werden, die über einen Keyboard-Encoder 43 an den Systembus 32 angeschlossen ist. Über eine Digitalanzeige 44, die über einen Anzeigen-Treiber/Speicher 45 an den Systembus 32 angeschlossen ist, können dem Benutzer Informationen zugänglich gemacht werden. Schließlich ist an den Systembus 32 noch eine Schnittstelle 46 angeschlossen, mit deren Hilfe die mit dem erfindungsgemäßen Verfahren berechneten Einstellwerte DIOC, DIOM und DIOY zu einem Fernsteuerstand (CPC1) 47 und damit zu im einzelnen nicht dargestellten Stellgliedern einer Druckmaschine 48 übertragen werden.

#### Patentansprüche

1. Verfahren zur Regelung der Farbführung bei einer Druckmaschine über verstellbare zonale Farbstellelemente,

— bei dem auf einem Druckerzeugnis in einem Meßstreifen pro Farbzone vorgesehene, im Vollton und Rasterton einzelfarbig und im Übereinanderdruck erzeugte Meßfelder und die Farbe des unbedruckten Druckerzeugnisses farbmetrisch ausgemessen werden,

— bei dem aus den farbmetrischen Signalen der Meßfelder und des unbedruckten Druckerzeugnisses Remissions-Istwerte  $\beta_X$ ,  $\beta_{pw}$  gewonnen werden,

— bei dem aus dem Remissions-Istwert  $\beta_{RCMY}$  eines im Rasterton aus den beteiligten Buntfarben CMY erzeugten Meßfeldes ein Ist-Farbbort  $E_{IST}$  bestimmt wird,

sigbar ist.

Hierzu 6 Seite(n) Zeichnungen

- bei dem der Farbabstand  $\Delta E$  zwischen dem Ist-Farbort  $E_{IST}$  und einem von einer Vorlage abgeleiteten, ein anzustrebendes Druckbild repräsentierenden Soll-Farbort  $E_{SOLL}$  bestimmt und mit einem maximal zulässigen Wert  $\Delta E_{max}$  für den Farbabstand verglichen wird,
  - bei dem dann, wenn der Farbabstand  $\Delta E$  gleich dem maximal zulässigen Wert  $\Delta E_{max}$  oder größer als dieser ist, ein theoretischer Farbabstand  $\Delta E_{theo}$  errechnet wird,
  - indem zunächst aus den Remissions-Istwerten  $\beta_X$ ,  $\beta_{PW}$  mit den in Fig. 3.11 angegebenen Formeln für die Bundfarben CMY Kenngrößen  $S_C$ ,  $S_M$ ,  $S_Y$  und mit den in Fig. 3.12 angegebenen Formeln Flächendeckungswerte  $\Phi_M$ ,  $\Phi_C$  und  $\Phi_Y$  errechnet werden,
  - wobei mit a und b Farbwerte bezeichnet werden, die sich aus Remissionswerten  $\beta_{\infty C}$ ,  $\beta_{\infty M}$ ,  $\beta_{\infty Y}$  der im Vollton mit großer Schichtdicke erzeugten Buntfarben CMY ergeben,
  - indem weiterhin aus den Kenngrößen  $S_C$ ,  $S_M$  und  $S_Y$  mit den in Fig. 3.13 angegebenen Formeln die Farbabnahmewerte  $F_{AM/C}$ ,  $F_{AY/C}$ ,  $F_{AY/M}$  und  $F_{AY/CM}$  jeweils für einen Über-einanderdruck zweier Buntfarben M, C; Y, C; Y, M und für einen Übereinanderdruck der Buntfarbe Y auf die übereinandergedruckten Buntfarben C und M errechnet wird,
  - indem weiterhin aus den Kenngrößen  $S_C$ ,  $S_M$  und  $S_Y$  aus den Farbabnahmewerten  $F_{AM/C}$ ,  $F_{AY/C}$ ,  $F_{AY/M}$ ,  $F_{AY/CM}$  mit den in Fig. 3.14 angegebenen Formeln theoretische Remissionswerte  $\beta_{V,theo}$  für Volltonfelder berechnet werden,
  - wobei in die Rechnung theoretische Werte  $DIO_{C,theo}$ ,  $DIO_{M,theo}$  und  $DIO_{Y,theo}$  für die Stellgrößen der Farbstellelemente eingehen, für die sich ein Minimum des Farbabstandes  $\Delta E_{(SOLL,theo)}$  zwischen dem Sollfarbort  $E_{SOLL}$  und einem theoretischen Farbort  $E_{theo}$  ergibt,
  - wobei der theoretische Farbort  $E_{theo}$  aus den Flächendeckungswerten  $\Phi_C$ ,  $\Phi_M$ ,  $\Phi_Y$  und dem theoretischen Reemissionswert  $\beta_{V,theo}$  abgeleitet wird, indem mit der in Fig. 3.16 angegebenen Formel ein theoretischer Remissionswert  $\beta_{T,RMCY}$  eines aus den drei Buntfarben CMY sich zusammensetzenden Rasterfeldes errechnet wird und dieser über die an sich bekannte Neugebauer-Beziehung zum theoretischen Farbort  $E_{theo}$  transformiert wird,
  - und bei dem dann, wenn der theoretische Farbabstand  $\Delta E_{theo}$  kleiner als der durch die Messungen ermittelte Farbabstand  $\Delta E_{(SOLL,IST)}$  ist, in der Folgezeit bei der Regelung der Farbführung die errechneten theoretischen Werte  $DIO_{C,theo}$ ,  $DIO_{M,theo}$  und  $DIO_{Y,theo}$  verwendet und als Stellgrößen den Farbstellelementen zugeführt werden und Änderungen der Schichtdicken der Druckfarben in den jeweiligen Farbzonen bewirken.
2. Verfahren nach Anspruch 1, dadurch gekennzeichnet, daß bei der Berechnung des theoretischen Remissionswertes  $\beta_{V,theo}$  den jeweilig verwendeten Druckfarben zugeordnete Farbwerte a, b berücksichtigt werden, die aus einer vorangegangenen spektralen Messung der Remission  $\beta_{\infty}$  einer Schicht gewonnen wurden, die derart dick ist, daß die Remission  $\beta_{PW}$  des Bedruckstoffes vernachlässigt werden kann.

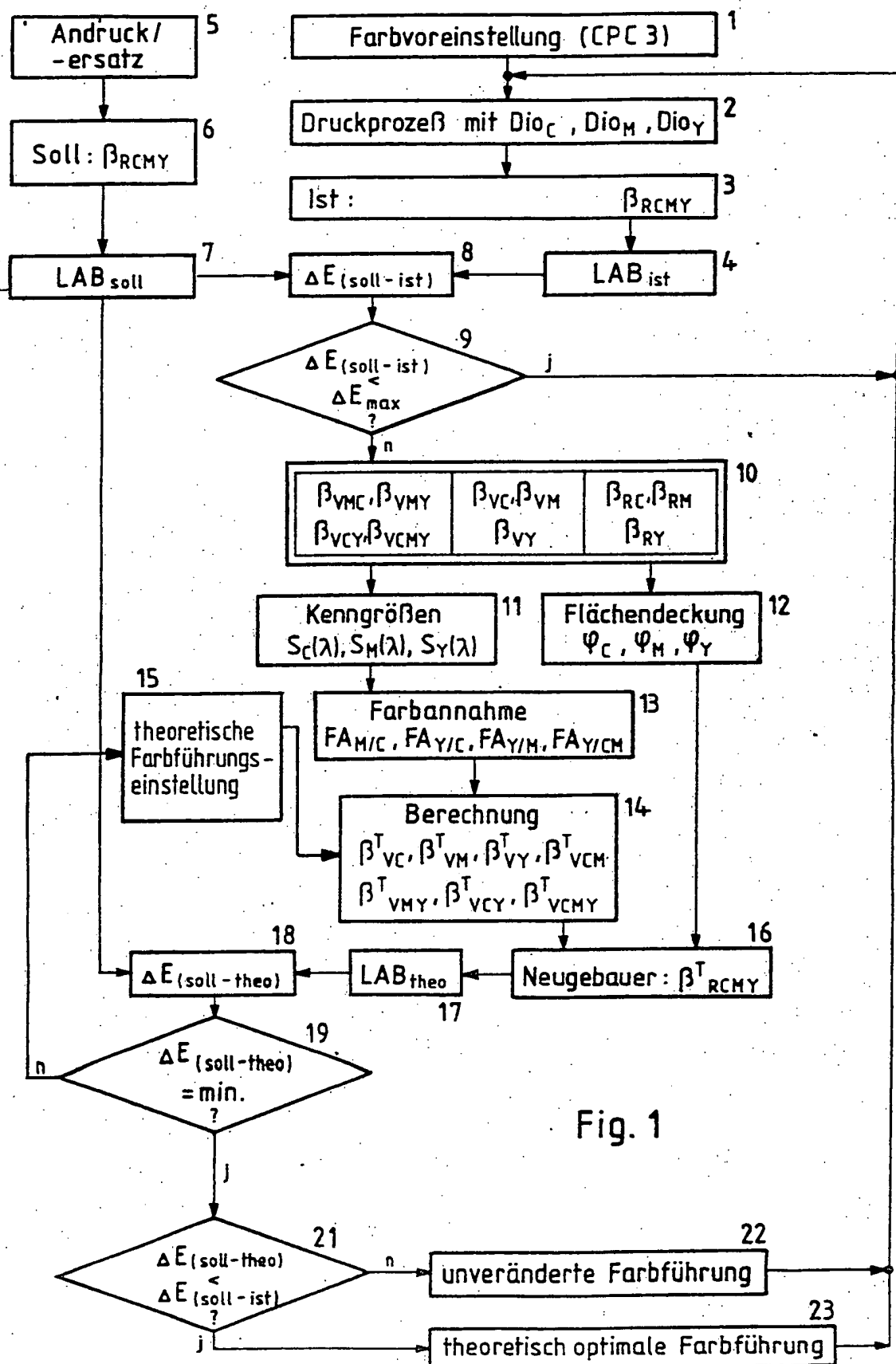


Fig. 1

$$h = C \cdot K (\text{Dio})$$

$$K_C (\text{Dio}_C)$$

$$K_M (\text{Dio}_M)$$

$$K_Y (\text{Dio}_Y)$$

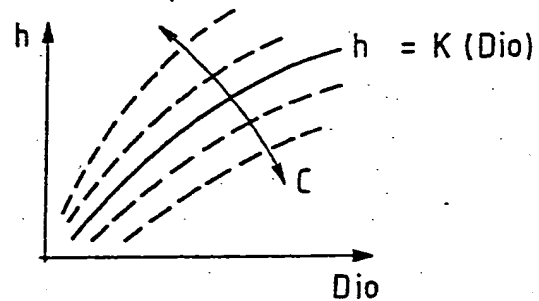


Fig. 2

Je Farbe :

$$f(\lambda) = \frac{[1 - \beta_{\infty}(\lambda)]^2}{2\beta_{\infty}(\lambda)} ; \quad a(\lambda) = 1 + f(\lambda) ; \quad b(\lambda) = \sqrt{a^2(\lambda) - 1}$$

Fig. 3.0

Je Farbe :

$$h = C \cdot K (\text{Dio}) \quad S(\lambda) = C \cdot s(\lambda)$$

$$A(\lambda) = \frac{1 - a(\lambda)(\beta_V + \beta_{PW}) + \beta_V \beta_{PW}}{b(\lambda)(\beta_V - \beta_{PW})}$$

$$S(\lambda) = \frac{1}{2b(\lambda)K(\text{Dio})} \cdot \ln \frac{A(\lambda) + 1}{A(\lambda) - 1}$$

Fig. 3.11

$$\varphi_C(\lambda) = \frac{\beta_{RC} - \beta_{PW}}{\beta_{VC} - \beta_{PW}} \quad \varphi_M(\lambda) = \frac{\beta_{RM} - \beta_{PW}}{\beta_{VM} - \beta_{PW}} \quad \varphi_Y(\lambda) = \frac{\beta_{RY} - \beta_{PW}}{\beta_{VY} - \beta_{PW}}$$

Fig. 3.12

$$F_{A_{H/C}} = \frac{S_{H/C}(\lambda)}{S_H(\lambda)} = \frac{\text{mit } S_{H/C}(\lambda) = \frac{1}{2 b_H(\lambda) K_H(\text{Dio}_H)} \ln \frac{A_{H/C}(\lambda) + 1}{A_{H/C}(\lambda) - 1}}{\text{mit } A_{H/C}(\lambda) = \frac{1 - \alpha_H(\lambda)(\beta_{VCH} + \beta_{VC}) + \beta_{VCH} \beta_{VC}}{b_H(\lambda)(\beta_{VCH} - \beta_{VC})}}$$

$$F_{A_{Y/C}} = \frac{S_{Y/C}(\lambda)}{S_Y(\lambda)} = \frac{\text{mit } S_{Y/C}(\lambda) = \frac{1}{2 b_Y(\lambda) K_Y(\text{Dio}_Y)} \ln \frac{A_{Y/C}(\lambda) + 1}{A_{Y/C}(\lambda) - 1}}{\text{mit } A_{Y/C}(\lambda) = \frac{1 - \alpha_Y(\lambda)(\beta_{VCY} + \beta_{VC}) + \beta_{VC} \beta_{VC}}{b_Y(\lambda)(\beta_{VCY} - \beta_{VC})}}$$

$$F_{A_{Y/H}} = \frac{S_{Y/H}(\lambda)}{S_Y(\lambda)} = \frac{\text{mit } S_{Y/H}(\lambda) = \frac{1}{2 b_Y(\lambda) K_Y(\text{Dio}_Y)} \ln \frac{A_{Y/H}(\lambda) + 1}{A_{Y/H}(\lambda) - 1}}{\text{mit } A_{Y/H}(\lambda) = \frac{1 - \alpha_Y(\lambda)(\beta_{VHY} + \beta_{VH}) + \beta_{VHY} \beta_{VH}}{b_Y(\lambda)(\beta_{VHY} - \beta_{VH})}}$$

$$F_{A_{V/CH}} = \frac{S_{V/CH}(\lambda)}{S_Y(\lambda)} = \frac{\text{mit } S_{V/CH}(\lambda) = \frac{1}{2 b_Y(\lambda) K_Y(\text{Dio}_Y)} \ln \frac{A_{V/CH}(\lambda) + 1}{A_{V/CH}(\lambda) - 1}}{\text{mit } A_{V/CH}(\lambda) = \frac{1 - \alpha_Y(\lambda)(\beta_{VCHY} + \beta_{VCH}) + \beta_{VCHY} \beta_{VCH}}{b_Y(\lambda)(\beta_{VCHY} - \beta_{VCH})}}$$

Fig. 3.13

$$\beta_{VC}^T = \frac{1 - \beta_{PW} \{a_C(\lambda) - b_C(\lambda) \coth [b_C(\lambda) \cdot S_C(\lambda) \cdot K_C(Dio_C)]\}}{a_C(\lambda) + b_C(\lambda) \coth [b_C(\lambda) \cdot S_C(\lambda) \cdot K_C(Dio_C)] - \beta_{PW}}$$

$$\beta_{VM}^T = \frac{1 - \beta_{PW} \{a_M(\lambda) - b_M(\lambda) \coth [b_M(\lambda) \cdot S_M(\lambda) \cdot K_M(Dio_M)]\}}{a_M(\lambda) + b_M(\lambda) \coth [b_M(\lambda) \cdot S_M(\lambda) \cdot K_M(Dio_M)] - \beta_{PW}}$$

$$\beta_{VY}^T = \frac{1 - \beta_{PW} \{a_Y(\lambda) - b_Y(\lambda) \coth [b_Y(\lambda) \cdot S_Y(\lambda) \cdot K_Y(Dio_Y)]\}}{a_Y(\lambda) + b_Y(\lambda) \coth [b_Y(\lambda) \cdot S_Y(\lambda) \cdot K_Y(Dio_Y)] - \beta_{PW}}$$

$$\beta_{VCM}^T = \frac{1 - \beta_{VC}^T \{a_M(\lambda) - b_M(\lambda) \coth [b_M(\lambda) \cdot FA_{M/C} \cdot S_M(\lambda) \cdot K_M(Dio_M)]\}}{a_M(\lambda) + b_M(\lambda) \coth [b_M(\lambda) \cdot FA_{M/C} \cdot S_M(\lambda) \cdot K_M(Dio_M)] - \beta_{VC}^T}$$

$$\beta_{VCY}^T = \frac{1 - \beta_{VC}^T \{a_Y(\lambda) - b_Y(\lambda) \coth [b_Y(\lambda) \cdot FA_{Y/C} \cdot S_Y(\lambda) \cdot K_Y(Dio_Y)]\}}{a_Y(\lambda) + b_Y(\lambda) \coth [b_Y(\lambda) \cdot FA_{Y/C} \cdot S_Y(\lambda) \cdot K_Y(Dio_Y)] - \beta_{VC}^T}$$

$$\beta_{VMY}^T = \frac{1 - \beta_{VM}^T \{a_Y(\lambda) - b_Y(\lambda) \coth [b_Y(\lambda) \cdot FA_{Y/M} \cdot S_Y(\lambda) \cdot K_Y(Dio_Y)]\}}{a_Y(\lambda) + b_Y(\lambda) \coth [b_Y(\lambda) \cdot FA_{Y/M} \cdot S_Y(\lambda) \cdot K_Y(Dio_Y)] - \beta_{VM}^T}$$

$$\beta_{VCMY}^T = \frac{1 - \beta_{VCM}^T \{a_Y(\lambda) - b_Y(\lambda) \coth [b_Y(\lambda) \cdot FA_{Y/CM} \cdot S_Y(\lambda) \cdot K_Y(Dio_Y)]\}}{a_Y(\lambda) + b_Y(\lambda) \coth [b_Y(\lambda) \cdot FA_{Y/CM} \cdot S_Y(\lambda) \cdot K_Y(Dio_Y)] - \beta_{VCM}^T}$$

Fig. 3.14



$$\begin{aligned}
 \beta_{RCMY}^T &= (1 - \varphi_C)(1 - \varphi_M)(1 - \varphi_Y) \beta_{PW} + \varphi_C(1 - \varphi_M)(1 - \varphi_Y) \beta_{VC}^T \\
 &+ \varphi_M(1 - \varphi_C)(1 - \varphi_Y) \beta_{VM}^T + \varphi_Y(1 - \varphi_C)(1 - \varphi_M) \beta_{VY}^T \\
 &+ \varphi_C \varphi_M(1 - \varphi_Y) \beta_{VCM}^T + \varphi_M \varphi_Y(1 - \varphi_C) \beta_{VMY}^T \\
 &+ \varphi_C \varphi_Y(1 - \varphi_M) \beta_{VCY}^T + \varphi_C \varphi_M \varphi_Y \beta_{VCMY}^T
 \end{aligned}$$

Fig. 3.16

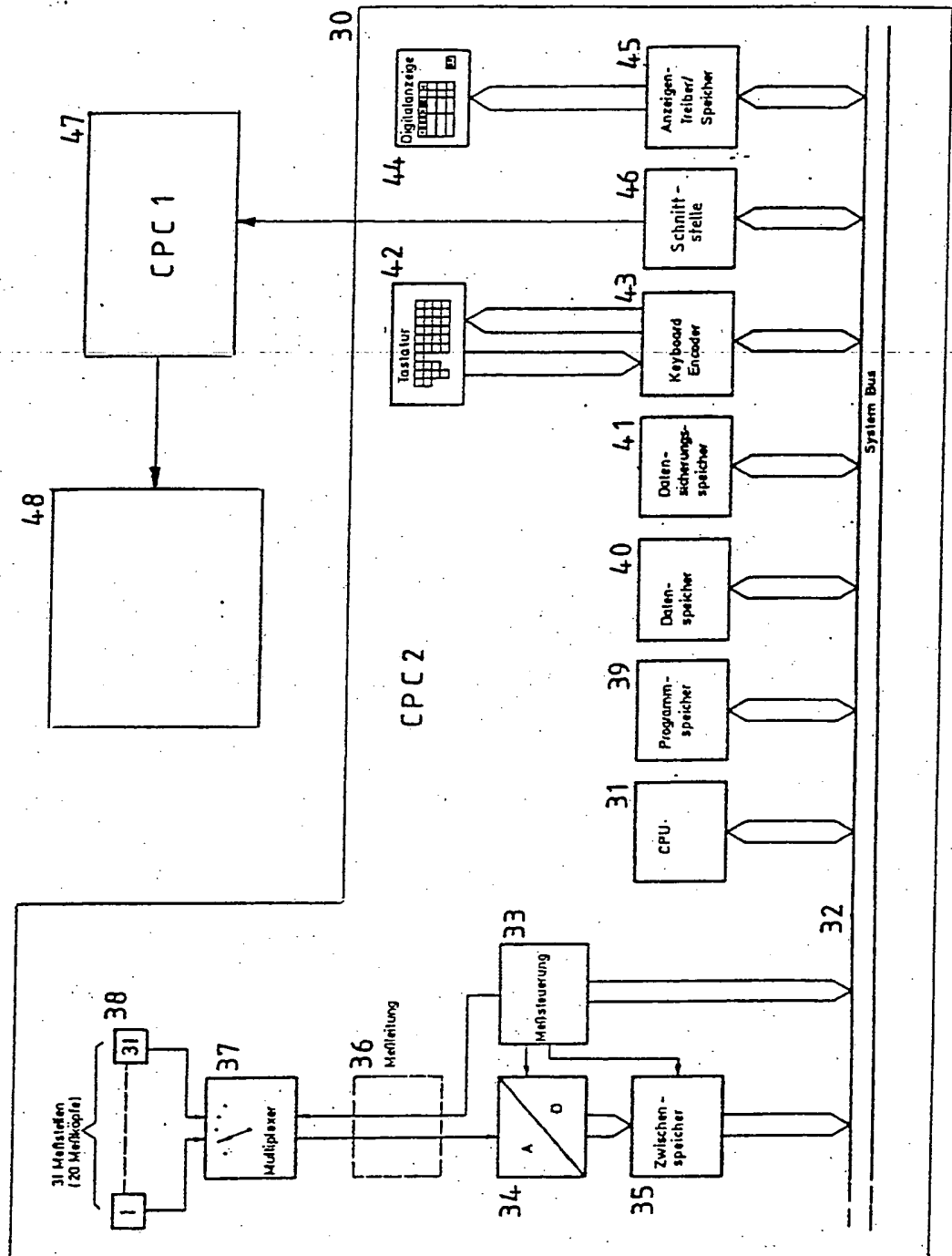


Fig. 4

# ENDEBLATT

**DRUCKAUFTRAGS-ID: 228**

**Benutzer:** alhalbhu  
**Drucker:** gdHO4320  
**Job Beginn:** 13.08.2003 10:51  
**Job Ende:** 13.08.2003 10:52

